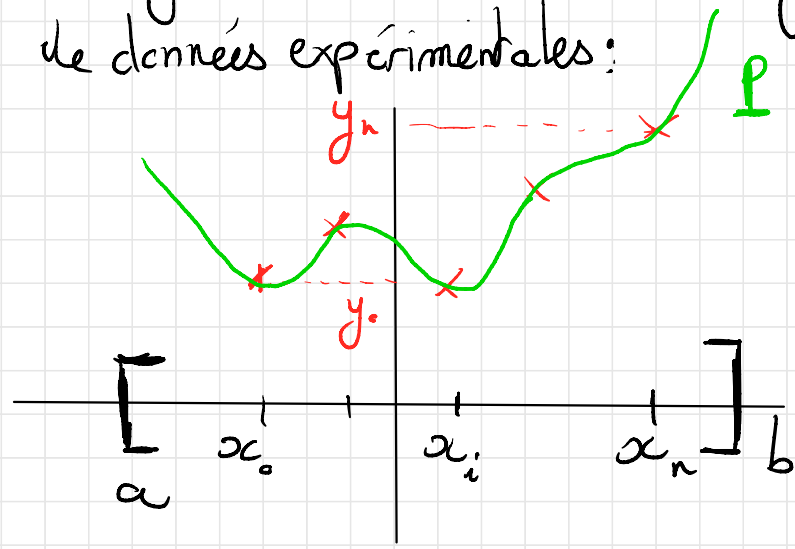


Séance 2 : Interpolation de Lagrange

aspects théoriques et numériques

* Modélisation : on cherche à reconstruire une fonction réelle sur un segment à partir d'un nombre fini de données expérimentales :



* Données expérimentales :

- famille $x_0 < x_1 < \dots < x_n \in [a, b]$
- valeurs mesurées $(y_i)_{0 \leq i \leq n} \in \mathbb{R}^{n+1}$

* Objectif : reconstruction d'une fonction continue $f : ([a, b] \rightarrow \mathbb{R})$
 $x \mapsto f(x)$
telle que $\forall i \in \{0, \dots, n\}, f(x_i) = y_i$
Parque f existe et est unique, il faut rajouter des contraintes sur f (à définir) : On doit ensuite définir un algorithme de construction de ce polynôme, rapide et robuste (vis à

vis des erreurs d'arrondi).

On vérifie enfin que l'objet construit et simulé numériquement, répond de manière satisfaisante au problème initial.

1) Etape 1 : existence et unicité du polynôme d'interpolation de Lagrange

Théorème-def : les notations sont inchangées. Il existe un unique polynôme $P \in \mathbb{R}_n[X]$ tel que $\forall i \in \{0, \dots, n\}, P(x_i) = y_i$

on l'appelle polynôme d'interpolation associé à la famille $\{(x_0, y_0), \dots, (x_n, y_n)\}$ (PIL) en abrégé. 2

preuve : soit

$$\Psi: \begin{pmatrix} \mathbb{R}_n[X] & \rightarrow & \mathbb{R}^{n+1} \\ P & \mapsto & (P(x_0), \dots, P(x_n)) \end{pmatrix}$$

On a :

* Ψ linéaire (immédiat)

* Ψ injective : En effet, si

$P(x_0) = \dots = P(x_n) = 0$, alors

P possède $(n+1)$ racines distinctes.

P étant de degré $\leq n$, il est nul.

Comme $\dim(\mathbb{R}_n[X]) = \dim(\mathbb{R}^{n+1})$ de Lagrange par les points / 3

alors φ est bijective (= $n+1$)

Ainsi, par toute famille $(y_i)_{0 \leq i \leq n} \in \mathbb{R}^{n+1}$,

il existe un unique polynôme $P \in \mathbb{R}_n[X]$

tel que $\varphi(P) = (y_0, \dots, y_n)$, soit

exactement $P(x_i) = y_i$ si $0 \leq i \leq n$.

Remarque : il existe aussi une démonstration constructive de P :

on définit la famille $(l_i)_{0 \leq i \leq n}$ des polynômes de base

$$l_i(x) = \frac{\prod_{j \neq i} (x - x_j)}{\prod_{j \neq i} (x_i - x_j)}$$

On remarque que

$l_i \in \mathbb{R}_n[X]$ (de degré n)

et $l_i(x_j) = 0$ si $j \neq i$

$$l_i(x_i) = 1$$

On montre ensuite que $(l_i)_{0 \leq i \leq n}$ est une base de $\mathbb{R}_n[X]$.

En effet, si $\sum_{i=0}^n \lambda_i l_i = 0$,

en évaluant en x_j , on trouve $d_j = 0$

On a donc (analyse/synthèse) //

nécessairement et de manière suffisante:

$$P(x) = \sum_{i=0}^n y_i l_i(x)$$

Etape 2: algorithme de construction
du P.I.L

* l'algorithme basé sur la famille $(l_i)_{0 \leq i \leq n}$ présente plusieurs défauts: coût et surtout sa sensibilité aux erreurs d'arrondis (quotients petits)

* Si on exprime P dans la base canonique:

$$P(X) = a_0 + a_1 X + \dots + a_n X^n$$

on doit avoir:

$$a_0 + a_1 x_0 + \dots + a_n x_0^n = y_0$$

⋮

$$a_0 + a_1 x_n + \dots + a_n x_n^n = y_n$$

soit matriciellement:

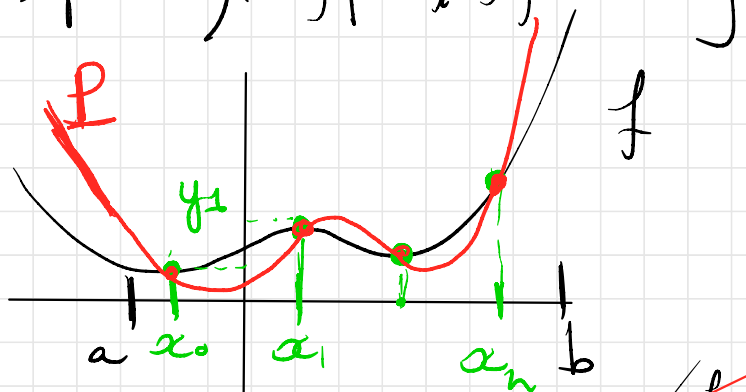
$$\begin{pmatrix} 1 & x_0 & \dots & x_0^n \\ \vdots & x_1 & & x_1^n \\ \vdots & \vdots & & \vdots \\ 1 & x_n & & x_n^n \end{pmatrix} \begin{pmatrix} a_0 \\ \vdots \\ a_n \end{pmatrix} = \begin{pmatrix} y_0 \\ \vdots \\ y_n \end{pmatrix}$$

On se ramène donc à la résolution d'un système linéaire avec la matrice de Vandermonde. Cet algorithme, au côté satisfaisant, ne convient toujours pas d'un point de vue numérique (la matrice de Vandermonde est mal conditionnée : voir chapitre syst. linéaires)

(*) très sensible aux erreurs d'arrondis

On utilise un algorithme, dit des différences divisées, qui remplit tous les critères :

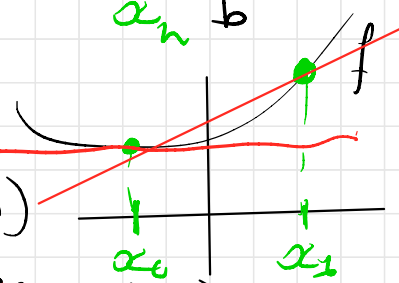
Déf on note, par $f: \mathbb{R} \rightarrow \mathbb{R}$ une fonction continue, par $f[x_0, \dots, x_n]$ le coefficient de degré n du P.I.L. associé aux points $\{(x_i, f(x_i))\}, 0 \leq i \leq n\}$



Par exemple,

$$f[x_0] = f(x_0)$$

$$f[x_0, x_1] = \frac{f(x_1) - f(x_0)}{x_1 - x_0}$$



On construit alors par récurrence

toutes les différences divisées :

Lemme : on a

$$f[x_0, \dots, x_j] = \frac{f[x_1, \dots, x_j] - f[x_0, \dots, x_{j-1}]}{x_j - x_0} \quad (1 \leq j \leq n) \quad (\bullet)$$

(preuve : voir poly / livre LD, Demailly)

On a le résultat suivant qui exprime le P.I.L. en fonction des coefficients précédents dans une base adaptée :

Proposition : soit P_j / 6
le P.I.L. de f associé aux points $\{x_0, \dots, x_n\}$. On a

$$P(x) = f[x_0] + f[x_0, x_1](x - x_0) + \dots + f[x_0, \dots, x_n](x - x_0) \dots (x - x_{n-1})$$

(preuve : voir poly / Demailly)

Par estimation $P(x)$, on dispose à présent d'un algorithme très efficace, appelé algorithme des différences divisées :

Etape 1: calcul des coefficients

$f[x_0], \dots, f[x_0, \dots, x_n]$:

$$\begin{array}{ccccccc} f(x_0) & \overset{(\bullet)}{\longleftarrow} & f[x_0, x_1] & \overset{(\bullet)}{\longleftarrow} & f[x_0, \dots, x_n] & & \\ f(x_1) & \longleftarrow & f[x_1, x_2] & \longleftarrow & \vdots & & \\ \vdots & & \vdots & & \vdots & & \\ f(x_n) & \longleftarrow & f[x_{n-1}, x_n] & \longleftarrow & \vdots & & \end{array}$$

$f(x_n)$

Etape 2: estimation de $P(x)$ par la méthode de Horner à partir de

$(\bullet \bullet)$: on construit la suite à indice croissant:

$$\begin{array}{l} u_n = f[x_0, \dots, x_n] \\ \downarrow \\ u_{n-1} = (x - x_{n-1})u_n + f[x_0, \dots, x_{n-1}] \\ \vdots \\ u_k = (x - x_k)u_{k+1} + f[x_0, \dots, x_k] \\ \vdots \\ u_0 = P(x) \end{array}$$

3) Etape 3: implémentation
Python de l'algorithme Dif. Div

* Pour apprendre à utiliser Python, nombreuses ressources en

ligne (doc , tuto , ...) dont :
la chaîne Youtube
" les maths par l'exemple "
(Maëlle Nodet)
etc...

Cette année , les exemples seront
réalisés , non plus avec Jupyter ("feuilles
de calcul") mais sous forme de
scripts réalisés (Spyder, ...)

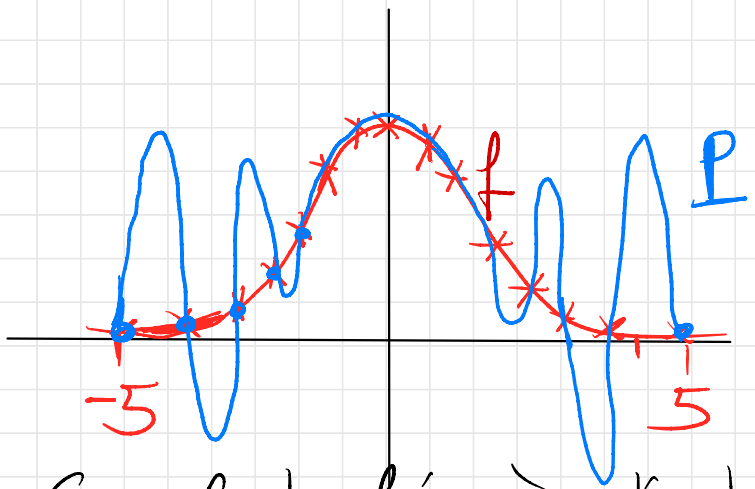
* Script python disponible sur
page web :

<https://dumas.perso.math.cnrs.fr/Agreg-UMSP.html>

* Méthode des différences
divisées (basée sur les formules
(.) et (..) et la méthode de Horner).

* On observe quand on augmente
le nombre de points , une instabilité
numérique .

* Une autre instabilité peut
apparaître sur certains exemples
précis : $f(x) = \frac{1}{1+x^2}$ sur $[-5,5]$
et $n \geq 10$



On parle du phénomène d'instabilité (mathématique) de Runge.

En conclusion de cette étude numérique, il s'avère que l'interpolation polynomiale de Lagrange n'est pas toujours bien adaptée en modélisation.

En pratique, on utilise plutôt une interpolation par splines cubiques (voir texte "krigeage").

Néanmoins, la méthode d'interpolation de Lagrange est très utile mathématiquement et par d'autres applications (calcul d'intégrales)

4) Compléments mathématiques sur l'interpolation de Lagrange

On peut montrer le résultat

mathématique suivant d'estimation
d'erreur entre f et P :

Théorème: soit P le PIZ de f
aux points $x_0 < \dots < x_n$. Alors
il existe $\xi \in [x_0, x_n]$ tel que

$$f(x) - P(x) = \frac{\prod_n(x) f^{(n+1)}(\xi)}{(n+1)!}$$

(en supposant $f \in C^{n+1}$ sur $[x_0, x_n]$)

$$\text{où } \prod_n(x) = \prod_{i=0}^n (x - x_i)$$

preuve: poly / Demailly

Remarque: on n'a pas
toujours $|f(x) - P(x)| \rightarrow 0$
quand $n \rightarrow +\infty$

(même si $|\frac{\prod_n(x)}{(n+1)!}| \rightarrow 0$ toujours)

• Suivant le choix de la fonction f ,
et de la répartition des points
d'interpolation, on pourra observer
une convergence ou une non-convergence
de $|f(x_i) - P(x_i)|$ vers 0 lorsque
 $n \rightarrow +\infty$.